



Московский государственный университет имени М. В. Ломоносова  
Факультет вычислительной математики и кибернетики  
Кафедра системного анализа

Отчёт по практикуму

# «Динамическое программирование и процессы управления»

Задание 1

*Студент 415 группы*  
А.В. Корушкина

*Руководитель практикума*  
к.ф.-м.н., доцент И.В. Востриков

Москва, 2018

# Содержание

<b>1</b>	<b>Постановка задачи</b>	<b>2</b>
<b>2</b>	<b>Теоретическое обоснование</b>	<b>2</b>
2.1	Внешняя эллипсоидальная оценка суммы . . . . .	3
2.2	Внешняя эллипсоидальная оценка интеграла . . . . .	4
2.3	Построение внешних эллипсоидальных оценок для множества достижимости	4
2.4	Внутренняя эллипсоидальная оценка суммы . . . . .	6
2.5	Внутренняя эллипсоидальная оценка интеграла . . . . .	7
2.6	Построение внутренних эллипсоидальных оценок для множества достижимости . . . . .	8
<b>3</b>	<b>Программная реализация алгоритма</b>	<b>11</b>
3.1	Построение проекции трубки достижимости на статическую плоскость . . .	11
3.2	Построение проекции трубки достижимости на динамическую плоскость . .	11
<b>4</b>	<b>Результаты работы программы</b>	<b>12</b>
4.1	Пример 1 . . . . .	12
4.2	Пример 2 с нулевой матрицей А . . . . .	13
4.3	Пример 3 с нулевой матрицей В . . . . .	15
4.4	Пример 4 . . . . .	16
4.5	Пример 5 . . . . .	18
	<b>Литература</b>	<b>21</b>

# 1 Постановка задачи

Пусть задана система:

$$\begin{cases} \dot{x}(t) = A(t)x(t) + B(t)u(t), t \in [t_0, t_1], \\ x(t_0) = x^0 \in \mathcal{X}^0 = \mathcal{E}(x_0, X_0), \\ u(t) \in \mathcal{Q}(t) = \mathcal{E}(q(t), Q(t)), \end{cases} \quad (1)$$

где  $x(t) \in \mathbb{R}^n$ ,  $A(t) \in \mathbb{R}^{n \times n}$ ,  $B(t) \in \mathbb{R}^{n \times m}$ ,  $u(t) \in \mathbb{R}^m$ . Необходимо построить внутренние и внешние эллипсоидальные оценки множества и трубки достижимости системы 1, соответственно нужно найти

1. проекцию множества достижимости на двумерную статическую ось;
2. проекцию множества достижимости на двумерную динамическую ось;
3. проекцию трубки достижимости на трехмерную статическую плоскость;
4. проекцию трубки достижимости на трехмерную динамическую плоскость.

# 2 Теоретическое обоснование

**Определение 1.** Множество достижимости системы 1 в момент времени  $t$   $\mathcal{X}[t] = \mathcal{X}(t, t_0, \mathcal{X}_0)$  называется объединение всевозможных состояний системы в данный момент времени.

$$\mathcal{X}[t] = \bigcup \{x(t) = x(t, t_0, x_0) | x_0 \in \mathcal{X}_0, u(t) \in \mathcal{P}(t)\}.$$

**Определение 2.** Тружкой достижимости задачи 1 называется многозначная функция  $\mathcal{X}[\cdot] = \mathcal{X}(\cdot, t_0, \mathcal{X}_0)$ , другими словами, трубка достижимости на временном отрезке  $[t_0, t]$  есть объединение множеств достижимости для  $\tau \in [t_0, t]$ .

Воспользовавшись формулой Коши решения линейного дифференциального уравнения, получаем:

$$x(t) = X(t, t_0)x^0 + \int_{t_0}^t X(t, \tau)B(\tau)u(\tau)d\tau,$$

где  $X(t, \tau)$  (фундаментальная матрица) является решением системы:

$$\begin{cases} \frac{dX(t, t_0)}{dt} = A(t)X(t, t_0), \\ X(\tau, \tau) = I. \end{cases} \quad (2)$$

**Определение 3.** Эллипсоидом  $\mathcal{E}$  с центром в точке  $q$  и матрицей  $Q = Q^T \geq 0$  будем называть выпуклое замкнутое множество с опорной функцией

$$\rho(l | \mathcal{E}(q, Q)) = \langle l, q \rangle + \sqrt{\langle l, Ql \rangle}.$$

**Свойство 1.**  $A\mathcal{E}(q, Q) = \mathcal{E}(Aq, AQA^T), \forall A \in \mathbb{R}^{n \times n}$ .

*Доказательство:*

$$\begin{aligned} \rho(l | A\mathcal{E}(q, Q)) &= \rho(A^T l | \mathcal{E}(q, Q)) = \langle A^T l, q \rangle + \sqrt{\langle A^T l, QA^T l \rangle} = \\ &= \langle l, Aq \rangle + \sqrt{\langle l, AQA^T l \rangle} = \rho(l | \mathcal{E}(Aq, AQA^T)). \end{aligned}$$

Следовательно, для множеств достижимости, решение системы 1 выглядит так:

$$\mathcal{X}[t] = X(t, t_0)\mathcal{E}(x_0, X_0) + \int_{t_0}^t X(t, \tau)B(\tau)\mathcal{E}(q(\tau), Q(\tau))d\tau,$$

где  $X(t, \tau)$  — фундаментальная матрица.

## 2.1 Внешняя эллипсоидальная оценка суммы

Пусть даны два эллипсоида  $\mathcal{E}_1 = \mathcal{E}(q_1, Q_1)$  и  $\mathcal{E}_2 = \mathcal{E}(q_2, Q_2)$ . Рассмотрим их сумму и оценим сверху эллипсоидом  $\mathcal{E}_+(q_+, Q_+) \supseteq \mathcal{E}_1 + \mathcal{E}_2$ , который будет касаться суммы в направлении вектора  $l^* \in \mathbb{R}^n$ ,  $\|l^*\| = 1$ .

**Удтверждение 1.**  $q_+ = q_1 + q_2$  и  $Q_+ = (p_1 + p_2) \left( \frac{Q_1}{p_1} + \frac{Q_2}{p_2} \right)$ , где  $p_1, p_2 > 0, p_1, p_2 \in \mathbb{R}$ .  
Примеч, при фиксированном направлении  $l$  положим  $p_i = \sqrt{\langle l, Q_i l \rangle}, i = \overline{1, 2}$ .

**Доказательство.** Выпишем опорную функцию:

$$\begin{aligned} \rho(l|\mathcal{E}_+) &= \langle q_1 + q_2, l \rangle + \sqrt{\left\langle l, (p_1 + p_2) \left( \frac{Q_1}{p_1} + \frac{Q_2}{p_2} \right) l \right\rangle} = \\ &= \langle q_1 + q_2, l \rangle + \sqrt{\langle l, Q_1 l \rangle + \langle l, Q_2 l \rangle + \frac{p_1}{p_2} \langle l, Q_2 l \rangle + \frac{p_2}{p_1} \langle l, Q_1 l \rangle} \geq \\ &\geq \left\{ A + B \geq 2\sqrt{AB} \right\} \geq \\ &\geq \langle q_1 + q_2, l \rangle + \sqrt{\langle l, Q_1 l \rangle + \langle l, Q_2 l \rangle + 2\langle l, Q_2 l \rangle^{\frac{1}{2}} \langle l, Q_1 l \rangle^{\frac{1}{2}}} \geq \\ &= \langle q_1, l \rangle + \sqrt{\langle l, Q_1 l \rangle} + \langle q_2, l \rangle + \sqrt{\langle l, Q_2 l \rangle} = \\ &= \rho(l|\mathcal{E}_1) + \rho(l|\mathcal{E}_2) = \rho(l|\mathcal{E}_1 + \mathcal{E}_2). \end{aligned}$$

При  $p_i = \sqrt{\langle l, Q_i l \rangle}, i = \overline{1, 2}$  неравенство превращается в равенство.

В общем случае, когда число эллипсоидов  $n$  больше 2, получаем следующее утверждение.

**Удтверждение 2.** Пусть даны  $\mathcal{E}_i = \mathcal{E}(q_i, Q_i), i = \overline{1, n}$ . Положим  $p_i = \sqrt{\langle l, Q_i l \rangle}$ . Тогда  $\mathcal{E}_+(q_+, Q_+) \supseteq \mathcal{E}_1 + \dots + \mathcal{E}_n$ , примеч  $\rho(l|\mathcal{E}_+) = \rho(l|\mathcal{E}_1 + \dots + \mathcal{E}_n)$ , где

$$q_+ = \sum_{i=1}^n q_i, \quad Q_+ = \left( \sum_{i=1}^n p_i \right) \left( \sum_{i=1}^n \frac{Q_i}{p_i} \right).$$

Другими словами, перебирая всевозможные направления  $l$ , получим:

$$\sum_{i=1}^n \mathcal{E}(q_i, Q_i) = \bigcap_{\|l\|=1} \mathcal{E}_+(l).$$

## 2.2 Внешняя эллипсоидальная оценка интеграла

Построим внешнюю оценку интеграла

$$I = \mathcal{E}_0(q_0, Q_0) + \int_{t_0}^t \mathcal{E}(q(\tau), Q(\tau)) d\tau.$$

Рассмотрим равномерное разбиение отрезка  $[t_0, t]$ :

$$\Sigma_N = \left\{ \sigma = \frac{t - t_0}{N}, \quad \tau_0 = t_0, \quad \tau_i = t_0 + \sigma i, \quad i = \overline{1, N} \right\}.$$

Соответственно, в наших обозначениях интегральные суммы равны

$$S_N = \mathcal{E}_0(q_0, Q_0) + \sigma \sum_{i=1}^N \mathcal{E}(q(\tau_i), Q(\tau_i)).$$

Используя формулу аппроксимирующего эллипсоида:

$$\mathcal{E}(q_+(\Sigma_N), Q_+(\Sigma_N)) \supseteq S_N,$$

$$q_+(\Sigma_N) = q_0 + \sigma \sum_{i=1}^N q(\tau_i),$$

$$Q_+(\Sigma_N) = \left( p_0 + \sum_{i=1}^N p_i \right) \left( \frac{Q_0}{p_0} + \sigma^2 \sum_{i=1}^n \frac{Q(\tau_i)}{p_i} \right),$$

где  $p_i > 0, i = \overline{0, N}$ . Сделаем замену  $p_i = \sqrt{\langle l, Q_i l \rangle} \sigma = p'_i \sigma, i = \overline{1, N}$  и при  $N \rightarrow \infty$  получим:

$$q_+ = q_0 + \int_{t_0}^t q(\tau) d\tau,$$

$$Q_+ = \left( p_0 + \int_{t_0}^t p(\tau) d\tau \right) \left( \frac{Q_0}{p_0} + \int_{t_0}^t \frac{Q(\tau)}{p(\tau)} d\tau \right),$$

где опорные функции точного множества и оценки равны при  $p(\tau) = \sqrt{\langle l, Q(\tau) l \rangle}$ .

## 2.3 Построение внешних эллипсоидальных оценок для множества достижимости

Используя свойство 1 и формулу Коши с учетом начальных условий будем иметь следующее выражение для множества достижимости системы 2:

$$\begin{aligned} \mathcal{X}[t] &= X(t, t_0) \mathcal{E}(x_0, X_0) + \int_{t_0}^t X(t, \tau) B(\tau) \mathcal{E}(q(\tau), Q(\tau)) d\tau = \\ &= \mathcal{E}(X(t, t_0) x_0, X(t, t_0) X_0 X^T(t, t_0)) + \int_{t_0}^t \mathcal{E}(X(t, \tau) B(\tau) q(\tau), X(t, \tau) B(\tau) Q(\tau) B^T(\tau) X^T(t, \tau)) d\tau = \\ &= \mathcal{E}(q_0, Q_0) + \int_{t_0}^t \mathcal{E}(\tilde{q}(\tau), \tilde{Q}(\tau)) d\tau. \end{aligned}$$

Таким образом, учитывая предыдущие выкладки, получим оценку

$$\mathcal{E}_+ = \mathcal{E} \left( X(t, t_0)x_0 + \int_{t_0}^t X(t, \tau)B(\tau)q(\tau)d\tau, Q_+ \right),$$

где

$$Q_+ = \left( p_0 + \int_{t_0}^t p(\tau)d\tau \right) \left( \frac{X(t, t_0)X_0X^T(t, t_0)}{p_0} + \int_{t_0}^t \frac{X(t, \tau)B(\tau)Q(\tau)B^T(\tau)X^T(t, \tau)}{p(\tau)}d\tau \right)$$

и при

$$p(\tau) = \sqrt{\langle l, X(t, \tau)B(\tau)Q(\tau)B^T(\tau)X^T(t, \tau)l \rangle},$$

$$p_0(\tau) = \sqrt{\langle l, X(t, t_0)X_0X^T(t, t_0)l \rangle}$$

будет достигаться равенство опорных функций точного множества и оценки. Однако  $p, p_0$  должны зависеть только от  $\tau$ , поэтому ,сделав замену  $l(t) = X^T(t_0, t)l_0$ ,  $l_0 \in S_1^m(0)$  — единичная сфера в  $\mathbb{R}^m$  и используя полугрупповое свойство фундаментальных матриц, получим:

$$p(\tau) = \sqrt{\langle l_0, X(t_0, \tau)B(\tau)Q(\tau)B^T(\tau)X^T(t_0, \tau)l_0 \rangle},$$

$$p_0(\tau) = \sqrt{\langle l_0, X_0l_0 \rangle}.$$

Учитывая все выше сказанное, поиск внешней эллипсоидальной оценки множества достижимости можно свести к решению нескольких дифференциальных уравнений. Введем обозначения:

$$\tilde{A} = p_0 + \int_{t_0}^t p(\tau)d\tau,$$

$$\tilde{B} = \frac{X(t, t_0)X_0X^T(t, t_0)}{p_0} + \int_{t_0}^t \frac{X(t, \tau)B(\tau)Q(\tau)B^T(\tau)X^T(t, \tau)}{p(\tau)}d\tau.$$

Тогда  $Q_+$  представимо, как:

$$Q_+ = \tilde{A}\tilde{B}.$$

Продифференцировав данное выражение, получим

$$\begin{aligned} \frac{\partial Q_+(t)}{\partial t} &= \frac{\partial \tilde{A}(t)}{\partial t}\tilde{B} + \tilde{A}\frac{\partial \tilde{B}(t)}{\partial t} = \\ &= p(t)\tilde{B}(t) + \tilde{A}(t) \left( \frac{A(t)X(t, \tau)X_0X^T(t, \tau) + X(t, \tau)X_0X^T(t, \tau)A^T(t)}{p_0} + \frac{B(t)Q(t)B^T(t)}{p(t)} \right) + \\ &+ \tilde{A}(t) \int_{t_0}^t \left( \frac{A(t)X(t, \tau)B(\tau)Q(\tau)B^T(\tau)X^T(t, \tau) + X(t, \tau)B(\tau)Q(\tau)B^T(\tau)X^T(t, \tau)A^T(t)}{p(\tau)} \right) d\tau = \\ &= p(t)\tilde{B}(t) + \tilde{A}(t) \left( A(t)\tilde{B}(t) + \tilde{B}(t)A^T(t) + \frac{B(t)Q(t)B^T(t)}{p(t)} \right) = \\ &= p(t)\tilde{B}(t) + A(t)\tilde{A}(t)\tilde{B}(t) + \tilde{A}(t)\tilde{B}(t)A^T(t) = \tilde{A}(t)\frac{B(t)Q(t)B^T(t)}{p(t)} = \end{aligned}$$

$$= p(t)\tilde{B}(t) + A(t)Q_+(t) + Q_+(t)A^T(t) + \tilde{A}(t)\frac{B(t)Q(t)B^T(t)}{p(t)}.$$

Здесь учитывалось, что  $\tilde{A}(t) \in \mathbb{R}^1$ . Таким образом,

$$\begin{cases} \frac{\partial Q_+(t)}{\partial t} = p(t)\tilde{B}(t) + A(t)Q_+(t) + Q_+(t)A^T(t) + \tilde{A}(t)\frac{B(t)Q(t)B^T(t)}{p(t)}, \\ Q_+(t_0) = X_0. \end{cases} \quad (3)$$

Также заметим, что для  $\tilde{A}, \tilde{B}$  можно записать дифференциальные уравнения:

$$\begin{cases} \frac{\tilde{A}(t)}{\partial t} = p(t), \\ \frac{\tilde{B}(t)}{\partial t} = A(t)\tilde{B} + \tilde{B}A^T(t) + \frac{B(t)Q(t)B^T(t)}{p(t)}, \\ \tilde{A}(t_0) = p_0, \\ \tilde{B}(t_0) = \frac{X_0}{p_0} \end{cases} \quad (4)$$

Чтобы найти  $X(t, \tau)$ , составим соответствующую ей систему:

$$\begin{cases} \frac{\partial X(t, \tau)}{\partial \tau} = -X(t, \tau)A(\tau), \\ X(t, t) = I. \end{cases} \quad (5)$$

Центр искомого эллипсоида удовлетворяется системе:

$$\begin{cases} \frac{\partial q_+(t)}{\partial t} = A(t)q_+(t) + B(t)q(t), \\ q_+(t_0) = x_0. \end{cases} \quad (6)$$

Решая совместно системы (3)-(6) можно получить соответственно матрицу конфигураций  $Q_+(t)$  и также центр искомого эллипсоида.

## 2.4 Внутренняя эллипсоидальная оценка суммы

Пусть даны  $N$  эллипсоидов  $\mathcal{E}_i = \mathcal{E}(q_i, Q_i), i = \overline{1, N}$ . Не ограничивая общности, положим  $q_i = 0, i = \overline{1, N}$ . Рассмотрим эллипсоид  $\mathcal{E}_- = \mathcal{E}(0, Q_-)$ , где

$$Q_- = Q_*^T Q_*,$$

$$Q_* = \sum_{i=1}^n S_i Q_i^{\frac{1}{2}}.$$

$S_i$  — ортогональная матрица,  $i = \overline{1, N}$ . Распишем квадрат опорной функции эллипсоида:

$$\begin{aligned} \rho^2(l|\mathcal{E}_-) &= \langle l, Q_- l \rangle = \langle Q_* l, Q_* l \rangle = \sum_{i=1}^n \langle l, Q_i l \rangle + \sum_{i \neq j} \left\langle S_i Q_i^{\frac{1}{2}} l, S_j Q_j^{\frac{1}{2}} l \right\rangle \leq \\ &\leq \{ \text{Неравенство Коши - Буняковского} \} \leq \sum_{i=1}^n \langle l, Q_i l \rangle + \sum_{i \neq j} \langle l, Q_i l \rangle^{\frac{1}{2}} \langle l, Q_j l \rangle^{\frac{1}{2}} = \\ &= \left( \sum_{i=1}^n \langle l, Q_i l \rangle^{\frac{1}{2}} \right)^2 = \rho^2 \left( l \left| \sum_{i=1}^n \mathcal{E}(0, Q_i) \right. \right) \end{aligned}$$

Так как эллипсоиды  $\mathcal{E}_i, \mathcal{E}_-$  имеют центры в нуле, их опорные функции неотрицательные, поэтому

$$\mathcal{E}_- \subseteq \sum_{i=1}^n \mathcal{E}(0, Q_i).$$

При фиксированном  $l$  равенство опорных функций достигается (т.е. в момент времени  $t$  в направлении  $l(t)$  происходит касание границ множества достижимости и соответствующей внутренней оценки) при

$$S_i Q_i^{\frac{1}{2}} l = \lambda_i S_1 Q_1^{\frac{1}{2}} l, \quad i = \overline{2, N}, \quad \lambda_i \in \mathbb{R}_+.$$

В качестве унитарной матрицы  $S_1$  возьмем единичную матрицу  $I$ ,  $\lambda_i$  выберем из условия  $\|Q_i^{\frac{1}{2}} l\| = \|\lambda_i Q_1^{\frac{1}{2}} l\|$ :

$$\lambda_i = \frac{\langle l, Q_i l \rangle^{\frac{1}{2}}}{\langle l, Q_1 l \rangle^{\frac{1}{2}}}.$$

Следовательно, существует ортогональное преобразование, которое переводит вектор  $Q_i^{\frac{1}{2}} l$  в  $Q_1^{\frac{1}{2}} l$ , и, следовательно, существуют нужные нам матрицы  $S_i$ . Перебирая всевозможные направления  $l$  получим внутреннюю эллипсоидальную оценку вида

$$\sum_{i=1}^n \mathcal{E}(0, Q_i) = \bigcup_{\|l\|=1} \mathcal{E}_-(l).$$

Случай с произвольными центрами  $q_i$  рассматриваются аналогично.

## 2.5 Внутренняя эллипсоидальная оценка интеграла

Построим внутреннюю оценку интеграла

$$I = \mathcal{E}_0(q_0, Q_0) + \int_{t_0}^t \mathcal{E}(q(\tau), Q(\tau)) d\tau.$$

Рассмотрим равномерное разбиение отрезка  $[t_0, t]$ :

$$\Sigma_N = \left\{ \sigma = \frac{t - t_0}{N}, \quad \tau_0 = t_0, \quad \tau_i = t_0 + \sigma i, \quad i = \overline{1, N} \right\}.$$

Соответственно, в наших обозначениях интегральные суммы равны

$$S_N = \mathcal{E}_0(q_0, Q_0) + \sigma \sum_{i=1}^N \mathcal{E}(q(\tau_i), Q(\tau_i)).$$

Используя формулу аппроксимирующего эллипсоида:

$$\mathcal{E}(q_-(\Sigma_N), Q_-(\Sigma_N)) \subseteq S_N,$$

$$q_-(\Sigma_N) = q_0 + \sigma \sum_{i=1}^N q(\tau_i),$$



$$Q_-(\Sigma_N) = Q_*^T(\Sigma_N)Q_*(\Sigma_N),$$

$$Q_*(\Sigma_N) = S_0Q_0^{\frac{1}{2}} + \sum_{i=1}^N S_iQ_i^{\frac{1}{2}}\sigma.$$

Соответственно, при  $N \rightarrow \infty$  получим:

$$q_-(t) = q_0 + \int_{t_0}^t q(\tau)d\tau,$$

$$Q_-(t) = Q_*^T(t)Q_*(t),$$

$$Q_*(t) = S_0Q_0^{\frac{1}{2}} + \int_{t_0}^t S(\tau)Q(\tau)^{\frac{1}{2}}d\tau.$$

## 2.6 Построение внутренних эллипсоидальных оценок для множества достижимости

Используя свойство 1 и формулу Коши с учетом начальных условий будем иметь следующее выражение для множества достижимости системы 2:

$$\begin{aligned} \mathcal{X}[t] &= X(t, t_0)\mathcal{E}(x_0, X_0) + \int_{t_0}^t X(t, \tau)B(\tau)\mathcal{E}(q(\tau), Q(\tau))d\tau = \\ &= \mathcal{E}(X(t, t_0)x_0, X(t, t_0)X_0X^T(t, t_0)) + \int_{t_0}^t \mathcal{E}(X(t, \tau)B(\tau)q(\tau), X(t, \tau)B(\tau)Q(\tau)B^T(\tau)X^T(t, \tau))d\tau = \\ &= \mathcal{E}(q_0, Q_0) + \int_{t_0}^t \mathcal{E}(\tilde{q}(\tau), \tilde{Q}(\tau))d\tau. \end{aligned}$$

Таким образом, учитывая предыдущие выкладки, получим оценку

$$\mathcal{E}_- = \mathcal{E}\left(X(t, t_0)x_0 + \int_{t_0}^t X(t, \tau)B(\tau)q(\tau)d\tau, Q_-\right),$$

$$Q_- = Q_*^T(t)Q_*(t),$$

где

$$Q_*(t) = S_0[X(t, t_0)X_0X^T(t, t_0)]^{\frac{1}{2}} + \int_{t_0}^t S(\tau)[X(t, \tau)B(\tau)Q(\tau)B^T(\tau)X^T(t, \tau)]^{\frac{1}{2}}d\tau.$$

Будем предполагать, что  $m = n$ . Если это не так:

1.  $m > n$ . Система является переопределенной и смысловой нагрузки не несет, поэтому данный случай исключается из рассмотрения.
2.  $m < n$ . К матрице  $B(t)$  можно приписать  $n - m$  нулевых столбцов, а  $\mathcal{E}(q(t), Q(t))$  можно дополнить до  $n$ -мерного эллипсоида.

Таким образом,

$$Q_*(t) = S_0 X_0^{\frac{1}{2}} X^T(t, t_0) + \int_{t_0}^t S(\tau) Q^{\frac{1}{2}}(\tau) B^T(\tau) X^T(t, \tau) d\tau.$$

Чтобы происходило касание границ множества достижимости и внутренней эллипсоидальной оценки, нужно:

для любого фиксированного времени  $t$  и  $\tau \in [t_0, t]$

$$\lambda(t, \tau) S_0(t) X_0^{\frac{1}{2}} X^T(t, t_0) l(t) = S(t, \tau) Q^{\frac{1}{2}}(\tau) B^T(\tau) X^T(t, \tau) l(t).$$

Положим  $l(t) = X^T(t_0, t) l_0$ ,  $l_0 \in S_1^m(0)$  — единичная сфера в  $\mathbb{R}^m$ . Тогда, взяв  $S_0 = I$ , получим, что матрица  $S$  и  $\lambda$  зависят только от  $\tau$ . Следовательно,

$$\lambda(\tau) X_0^{\frac{1}{2}} l_0 = S(\tau) Q^{\frac{1}{2}}(\tau) B^T(\tau) X^T(t_0, \tau) l_0. \quad (7)$$

Так как ортогональные преобразования сохраняют длины векторов, то

$$\|\lambda(\tau)\| = \frac{\|Q^{\frac{1}{2}}(\tau) B^T(\tau) X^T(t_0, \tau)\|}{\|X_0^{\frac{1}{2}} l_0\|}.$$

Зафиксируем некоторое  $l_0 \in \pi$ ,  $\pi$  — плоскость, образованная векторами  $(l_1, l_2)$ , вводимыми пользователем. Учитывая (7) и то, что  $\lambda_i = \frac{\langle l, Q_i l \rangle^{\frac{1}{2}}}{\langle l, Q_1 l \rangle^{\frac{1}{2}}}$ , получим для матрицы  $S(\tau)$ :

$$S(\tau) \cdot \tilde{a}(\tau) = \tilde{b}(\tau),$$

где

$$\begin{aligned} \tilde{a}(\tau) &= Q^{\frac{1}{2}}(\tau) B^T(\tau) X^T(t_0, \tau) l_0, \\ \tilde{b}(\tau) &= \frac{\langle l_0, X(t_0, \tau) B(\tau) Q B^T(\tau) X^T(t_0, \tau) l_0 \rangle^{\frac{1}{2}}}{\langle l_0, X_0 l_0 \rangle^{\frac{1}{2}}} X_0^{\frac{1}{2}} l_0 = \frac{\|\tilde{a}(\tau)\|}{\|X_0^{\frac{1}{2}} l_0\|} X_0^{\frac{1}{2}} l_0. \end{aligned}$$

Чтобы найти ортогональные матрицы  $S(\tau)$ , воспользуемся сингулярным разложением матрицы  $A$ .

**Определение 4.** Сингулярным называется разложение произвольной матрицы  $A \in \mathbb{R}^{n \times n}$  в произведение диагональной и двух ортогональных матриц:

$$A = FDU,$$

где

$$\{D\}_{i,j} = 0, \quad i \neq j, \quad FF^T = F^T F = UU^T = U^T U = I.$$

**Теорема 1.** Сингулярное разложение  $A = FDU$  существует для любой комплексной прямоугольной матрицы  $A$ . Если  $A$  вещественная, то матрицы  $F$  и  $U$  также можно выбрать вещественными.

**Теорема 2.** Для произвольных векторов  $a, b \in \mathbb{R}^{n \times 1}$ , таких, что  $\|a\| = \|b\|$ , существует матрица ортогонального преобразования, переводящего  $a$  в  $b$ .

**Доказательство.** Сингулярно разложим вектора  $a$  и  $b$ :

$$a = F_a D_a u_a, \quad b = F_b D_b u_b.$$

Здесь  $F_a, F_b$  — ортогональные матрицы порядка  $n \times n$ ;

$$D_a = (\lambda_a, 0, \dots, 0)^T \in \mathbb{R}^n, \quad \lambda_a \neq 0; \quad u_a \in \{-1, 1\};$$

$$D_b = (\lambda_b, 0, \dots, 0)^T \in \mathbb{R}^n, \quad \lambda_b \neq 0; \quad u_b \in \{-1, 1\}.$$

Таким образом, получаем:

$$F_b = F_b I = F_b F_a^T F_a,$$

$$D_b = D_a \frac{\lambda_b}{\lambda_a}$$

и

$$u_b = u_b \cdot 1 = u_b \left( \frac{u_a}{u_b} \cdot \frac{u_b}{u_a} \right) = u_a \cdot \frac{u_b}{u_a},$$

откуда

$$\begin{aligned} b &= F_b D_b u_b = F_b F_a^T \cdot F_a D_a u_a \cdot \left( \frac{\lambda_b}{\lambda_a} \cdot \frac{u_b}{u_a} \right) = \\ &= F_b F_a^T a \left( \frac{\lambda_b}{\lambda_a} \cdot \frac{u_b}{u_a} \right) = \left( \frac{\lambda_b}{\lambda_a} \frac{u_b}{u_a} F_b F_a^T \right) a. \end{aligned}$$

Кроме того, в силу требования  $\|a\| = \|b\|$  и утверждения, что произведение ортогональных матриц — ортогонально:

$$\left| \frac{\lambda_b}{\lambda_a} \frac{u_b}{u_a} \right| = 1,$$

т.е. полученная матрица перехода  $\frac{\lambda_b}{\lambda_a} \frac{u_b}{u_a} F_b F_a^T$  — действительно является ортогональной матрицей. Таким образом, сформулированный алгоритм нахождения ортогональной матрицы  $S(\tau)$  корректен.

Продифференцируем выражение для  $Q_*$ :

$$\begin{aligned} \frac{\partial Q_*(t)}{\partial t} &= X_0^{\frac{1}{2}} (A(t)X(t, t_0))^T + \int_{t_0}^t S(\tau) Q^{\frac{1}{2}}(\tau) B^T(\tau) (A(t)X(t, \tau))^T d\tau + S(t) Q^{\frac{1}{2}}(t) B^T(t) = \\ &= \left( X_0^{\frac{1}{2}} X^T(t, t_0) + \int_{t_0}^t S(\tau) Q^{\frac{1}{2}}(\tau) B^T(\tau) X^T(t, \tau) d\tau \right) A^T(t) + S(t) Q^{\frac{1}{2}}(t) B^T(t) = \\ &= Q_*(t) A^T(t) + S(t) Q^{\frac{1}{2}}(t) B^T(t). \end{aligned}$$

Таким образом,

$$\begin{cases} \frac{\partial Q_*(t)}{\partial t} = Q_*(t) A^T(t) + S(t) Q^{\frac{1}{2}}(t) B^T(t), \\ Q_*(t_0) = X_0^{\frac{1}{2}}. \end{cases} \quad (8)$$

По матрице  $Q_*(t)$  построим матрицу конфигураций  $Q_- = Q_*^T Q_*$  для  $\mathcal{E}_-$ . Причем, центр искомого эллипсоида удовлетворяется системе:

$$\begin{cases} \frac{\partial q_+(t)}{\partial t} = A(t)q_+(t) + B(t)q(t), \\ q_+(t_0) = x_0. \end{cases} \quad (9)$$

Произведя перебор векторов  $l_0 \in \pi$  получим внутреннюю оценку.

### 3 Программная реализация алгоритма

Пользователь задает направления  $(l_1, l_2)$ , образующие плоскость, на которую проектируются внешние или внутренние оценки.

#### 3.1 Построение проекции трубки достижимости на статическую плоскость

1. Зададим некоторую временную сетку на  $[t_0, t]$ .
2. Будем строить проекции множества достижимости в каждый момент времени. Для каждого фиксированного момента времени будем перебирать направляющие векторы  $l$  по двумерной сфере, расположенной в статической плоскости, образованной векторами  $(l_1, l_2)$ . Для каждого такого направления будем строить внешнюю эллипсоидальную оценку, опорная точка которой в направлении  $l$  совпадает с опорной точкой множества достижимости в том же направлении. Полученную опорную точку будем проектировать на статическую плоскость.

Статическая плоскость задаётся двумя неколлинеарными векторами  $l_1$  и  $l_2$ . Для удобства, построим в статической плоскости ортонормированный базис  $e_1, e_2$ , проводя ортогонализацию векторов  $l_1$  и  $l_2$ :

$$\begin{aligned} e_1 &= \frac{l_1}{\|l_1\|}, \\ e^* &= l_2 - \langle l_2, e_1 \rangle e_1, \\ e_2 &= \frac{e^*}{\|e^*\|}. \end{aligned}$$

Параметризуем сферу:

$$\begin{cases} l = e_1 \cos \alpha + e_2 \sin \alpha, \\ \alpha \in [0, 2\pi]. \end{cases}$$

Итак, для каждого вектора  $l$ , вычисляем  $q^+(\tau)$  и  $Q^+(\tau)$ , а также опорную точку  $e_0$ . Проектируем эту точку на статическую плоскость следующим образом:

$$pr_{e_1} e_0 = \langle e_0, e_1 \rangle e_1,$$

$$pr_{e_2} e_0 = \langle e_0, e_2 \rangle e_2.$$

#### 3.2 Построение проекции трубки достижимости на динамическую плоскость

Как и ранее, зададим некоторую временную сетку на  $[t_0, t]$ . Динамическая плоскость также задаётся двумя неколлинеарными векторами  $l_1$  и  $l_2$ . Алгоритм построения аналогичен проектированию на статическую плоскость. В каждый момент времени будем строить проекцию множества достижимости на двумерную плоскость, но задаваемую векторами:

$$h_1(\tau) = X^T(t_0, \tau) l_1,$$

$$h_2(\tau) = X^T(t_0, \tau) l_2.$$

## 4 Результаты работы программы

### 4.1 Пример 1

Рассмотрим систему, в которой:

$$A = \begin{bmatrix} 1 & 0 \\ 0 & 1 \end{bmatrix}, \quad B = \begin{bmatrix} 1 & 0 \\ 0 & 1 \end{bmatrix}, \quad x_0 = \begin{bmatrix} 0 \\ 0 \end{bmatrix}, \quad X_0 = \begin{bmatrix} 1 & 0 \\ 0 & 1 \end{bmatrix}, \quad q_0 = \begin{bmatrix} 0 \\ 0 \end{bmatrix}, \quad Q = \begin{bmatrix} 1 & 0 \\ 0 & 1 \end{bmatrix},$$

$$t_0 = 0, \quad T = 1, \quad l_1 = \begin{bmatrix} 1 \\ 0 \end{bmatrix}, \quad l_2 = \begin{bmatrix} 0 \\ 1 \end{bmatrix}.$$

Построим трубку достижимости на отрезке времени  $t \in [0, 1]$  и проекции оценок на плоскость в момент  $T$ .

Проекция множества достижимости на двумерную статическую ось в момент времени  $T$ .

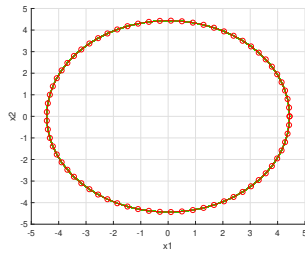


Рис. 1: Внешняя оценка.

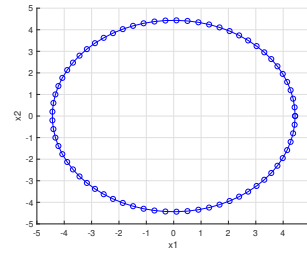


Рис. 2: Внутренняя оценка.

Проекция трубки достижимости на трехмерную статическую плоскость.

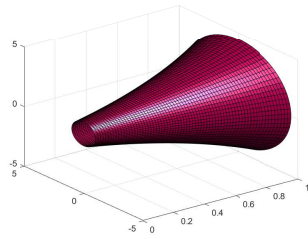


Рис. 3: Внешняя оценка.

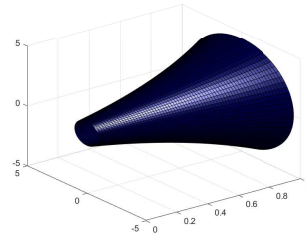


Рис. 4: Внутренняя оценка.

Проекция множества достижимости на двумерную динамическую ось в момент времени  $T$ .

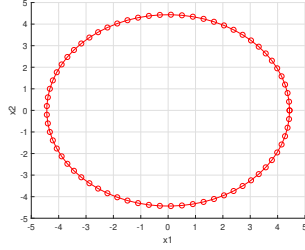


Рис. 5: Внешняя оценка.

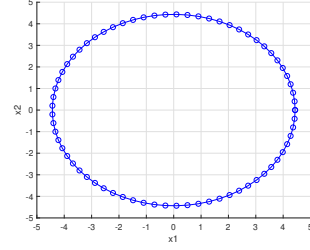


Рис. 6: Внутренняя оценка.

Проекция трубки достижимости на трехмерную динамическую плоскость.

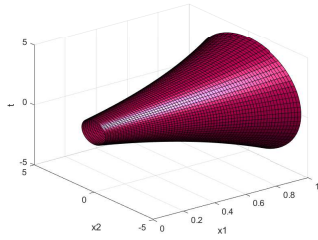


Рис. 7: Внешняя оценка.

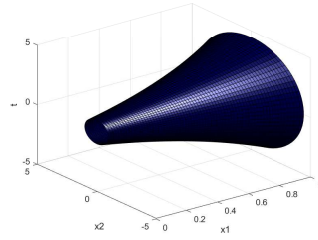


Рис. 8: Внутренняя оценка.

## 4.2 Пример 2 с нулевой матрицей $A$

$$A = \begin{bmatrix} 0 & 0 & 0 \\ 0 & 0 & 0 \\ 0 & 0 & 0 \end{bmatrix}, \quad B = \begin{bmatrix} \cos(10t) & \sin(10t) & 0 \\ -\sin(t) & \cos(t) & 0 \\ 0 & 0 & 1 \end{bmatrix}, \quad x_0 = \begin{bmatrix} 0 \\ 0 \\ 0 \end{bmatrix}, \quad X_0 = \begin{bmatrix} 1 & 0 & 0 \\ 0 & 1 & 0 \\ 0 & 0 & 1 \end{bmatrix},$$

$$q_0 = \begin{bmatrix} 0 \\ 0 \\ 0 \end{bmatrix}, \quad Q = \begin{bmatrix} 1 & 0 & 0 \\ 0 & 1 & 0 \\ 0 & 0 & 1 \end{bmatrix},$$

$$t_0 = 0, \quad T = 5, \quad l_1 = \begin{bmatrix} 1 \\ 0 \\ 0 \end{bmatrix}, \quad l_2 = \begin{bmatrix} 0 \\ 1 \\ 0 \end{bmatrix}.$$

Проекция множества достижимости на двумерную статическую ось в момент времени  $T$ .

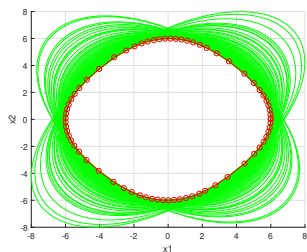


Рис. 9: Внешняя оценка.

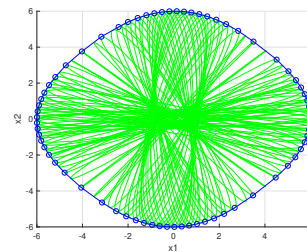


Рис. 10: Внутренняя оценка.

Проекция трубки достижимости на трехмерную статическую плоскость.

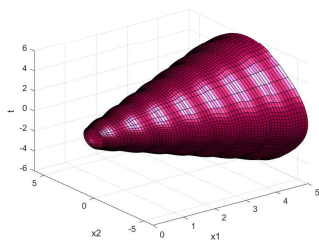


Рис. 11: Внешняя оценка.

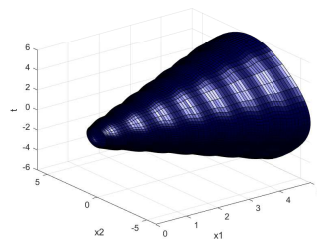


Рис. 12: Внутренняя оценка.

Проекция множества достижимости на двумерную динамическую ось в момент времени  $T$ .

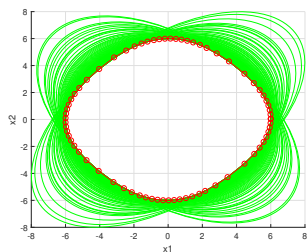


Рис. 13: Внешняя оценка.

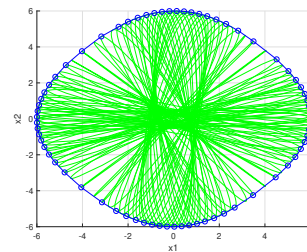


Рис. 14: Внутренняя оценка.

Проекция трубки достижимости на трехмерную динамическую плоскость.

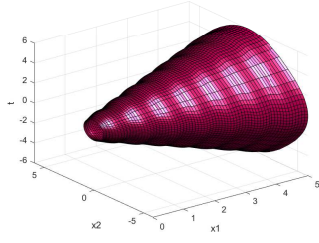


Рис. 15: Внешняя оценка.

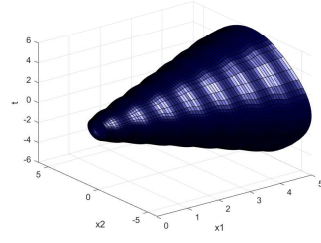


Рис. 16: Внутренняя оценка.

### 4.3 Пример 3 с нулевой матрицей В

Так как матрица  $B$  — вырожденная, то регуляризуем ее (малое шевеление,  $\varepsilon = 1e - 15$ )

$$A = \begin{bmatrix} 1 & 0 \\ 0 & 1 \end{bmatrix}, \quad B = \begin{bmatrix} 0 & 0 \\ 0 & 0 \end{bmatrix}, \quad x_0 = \begin{bmatrix} 0 \\ 0 \end{bmatrix}, \quad X_0 = \begin{bmatrix} 1 & 0 & 0 \\ 0 & 1 & 0 \\ 0 & 0 & 1 \end{bmatrix},$$

$$q_0 = \begin{bmatrix} 0 \\ 0 \end{bmatrix}, \quad Q = \begin{bmatrix} 1 & 0 \\ 0 & 1 \end{bmatrix},$$

$$t_0 = 0, \quad T = 1, \quad l_1 = \begin{bmatrix} 1 \\ 0 \end{bmatrix}, \quad l_2 = \begin{bmatrix} 0 \\ 1 \end{bmatrix}.$$

Проекция множества достижимости на двумерную статическую ось в момент времени  $T$ .

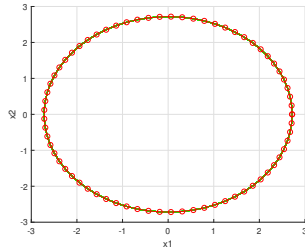


Рис. 17: Внешняя оценка.

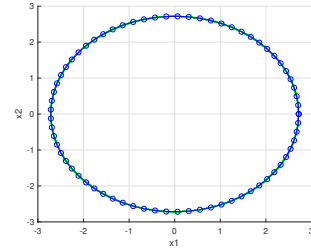


Рис. 18: Внутренняя оценка.



Проекция трубки достижимости на трехмерную статическую плоскость.

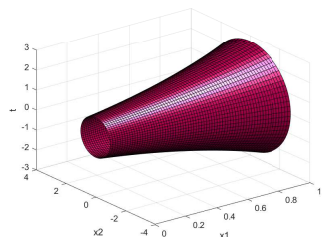


Рис. 19: Внешняя оценка.

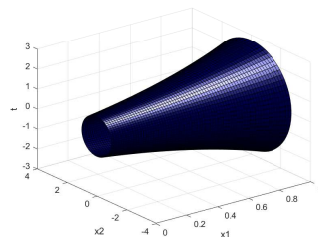


Рис. 20: Внутренняя оценка.

Проекция множества достижимости на двумерную динамическую ось в момент времени  $T$ .

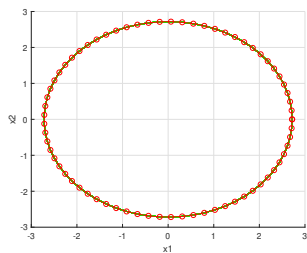


Рис. 21: Внешняя оценка.

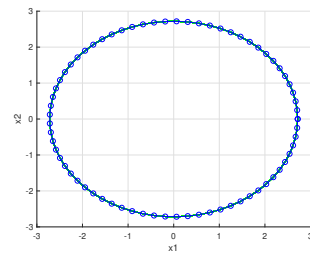


Рис. 22: Внутренняя оценка.

Проекция трубки достижимости на трехмерную динамическую плоскость.

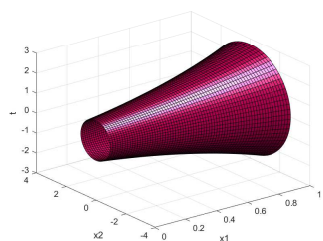


Рис. 23: Внешняя оценка.

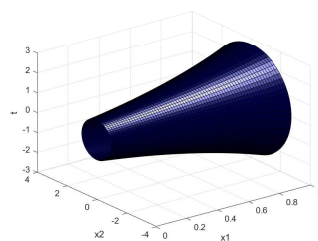


Рис. 24: Внутренняя оценка.

#### 4.4 Пример 4

$$A = \begin{bmatrix} 1 & -7 & 1 \\ 70 & 1 & 0.05 \\ 0.01 & -0.5 & 1 \end{bmatrix}, \quad B = \begin{bmatrix} 1 & 0 & 0 \\ 0 & 1 & 0 \\ 0 & 0 & 1 \end{bmatrix}, \quad x_0 = \begin{bmatrix} 1 \\ 1 \\ 1 \end{bmatrix}, \quad X_0 = \begin{bmatrix} 1 & 0 & 0 \\ 0 & 1 & 0 \\ 0 & 0 & 1 \end{bmatrix},$$

$$q_0 = \begin{bmatrix} 1 \\ 2 \\ 1 \end{bmatrix}, \quad Q = \begin{bmatrix} 1 & 0 & 0 \\ 0 & 1 & 0 \\ 0 & 0 & 1 \end{bmatrix},$$

$$t_0 = 0, \quad T = 1, \quad l_1 = \begin{bmatrix} 1 \\ 0 \\ 0 \end{bmatrix}, \quad l_2 = \begin{bmatrix} 0 \\ 1 \\ 0 \end{bmatrix}.$$

Проекция множества достижимости на двумерную статическую ось в момент времени  $T$ .

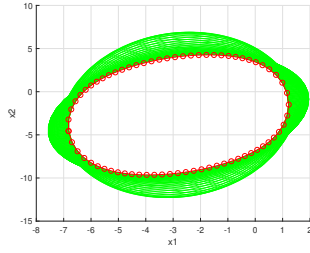


Рис. 25: Внешняя оценка.

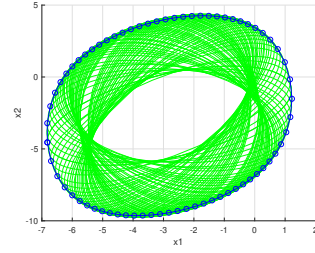


Рис. 26: Внутренняя оценка.

Проекция трубки достижимости на трехмерную статическую плоскость.

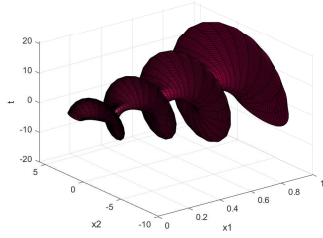


Рис. 27: Внешняя оценка.

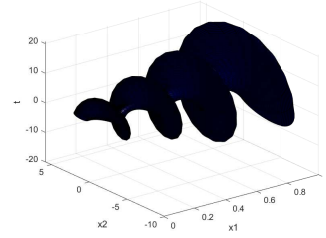


Рис. 28: Внутренняя оценка.

Проекция множества достижимости на двумерную динамическую ось в момент времени  $T$ .

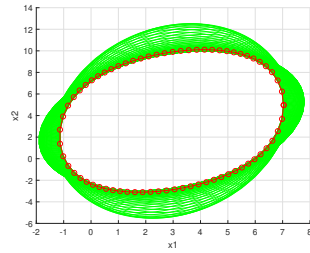


Рис. 29: Внешняя оценка.

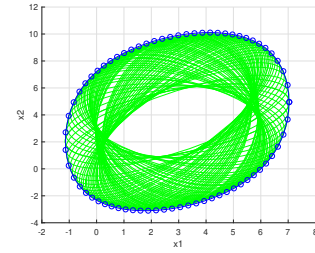


Рис. 30: Внутренняя оценка.

Проекция трубки достижимости на трехмерную динамическую плоскость.

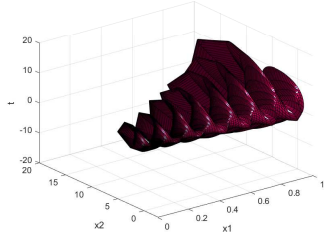


Рис. 31: Внешняя оценка.

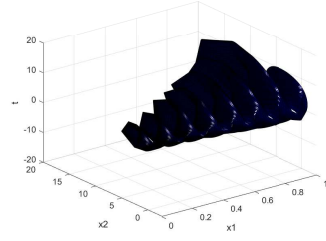


Рис. 32: Внутренняя оценка.

#### 4.5 Пример 5

$$A = \begin{bmatrix} 1 & 5t^2 \\ -4t & 1 \end{bmatrix}, \quad B = \begin{bmatrix} 1 & 0 \\ 0 & 1 \end{bmatrix}, \quad x_0 = \begin{bmatrix} 0 \\ 0 \end{bmatrix}, \quad X_0 = \begin{bmatrix} 2 & 1 & 0 \\ 1 & 2 & 0 \end{bmatrix},$$

$$q_0 = \begin{bmatrix} 2 \\ 1 \end{bmatrix}, \quad Q = \begin{bmatrix} 1 & 0 \\ 0 & 1 \end{bmatrix},$$

$$t_0 = 0.1, \quad T = 1, \quad l_1 = \begin{bmatrix} 1 \\ 0 \end{bmatrix}, \quad l_2 = \begin{bmatrix} 0 \\ 1 \end{bmatrix}.$$

Проекция множества достижимости на двумерную статическую ось в момент времени  $T$ .

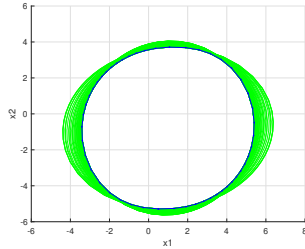


Рис. 33: Внешняя оценка.

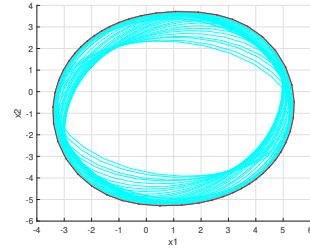


Рис. 34: Внутренняя оценка.

Проекция трубки достижимости на трехмерную статическую плоскость.

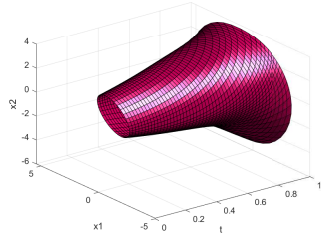


Рис. 35: Внешняя оценка.

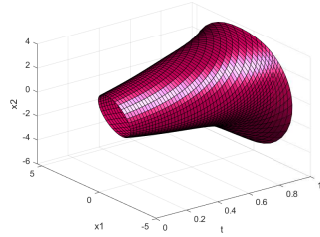


Рис. 36: Внутренняя оценка.

Проекция множества достижимости на двумерную динамическую ось в момент времени  $T$ .

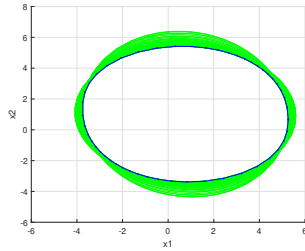


Рис. 37: Внешняя оценка.

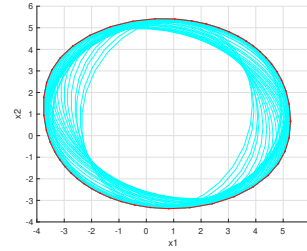


Рис. 38: Внутренняя оценка.

Проекция трубки достижимости на трехмерную динамическую плоскость.

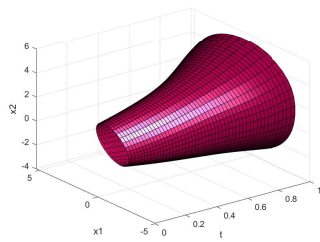


Рис. 39: Внешняя оценка.

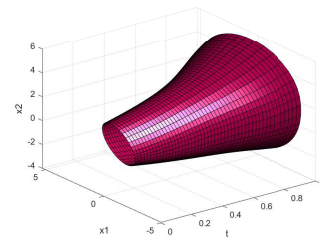


Рис. 40: Внутренняя оценка.

Сечения трубки достижимости на трехмерную статическую и динамическую плоскость.

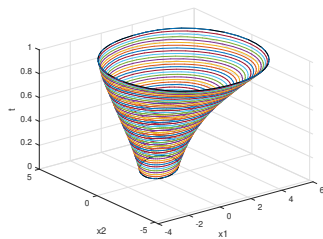


Рис. 41: Статическая плоскость.

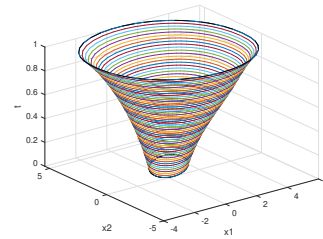


Рис. 42: Динамическая плоскость.

Проекция внешней и внутренней трубки, а также оригинального множества достижимости на трехмерную статическую плоскость.

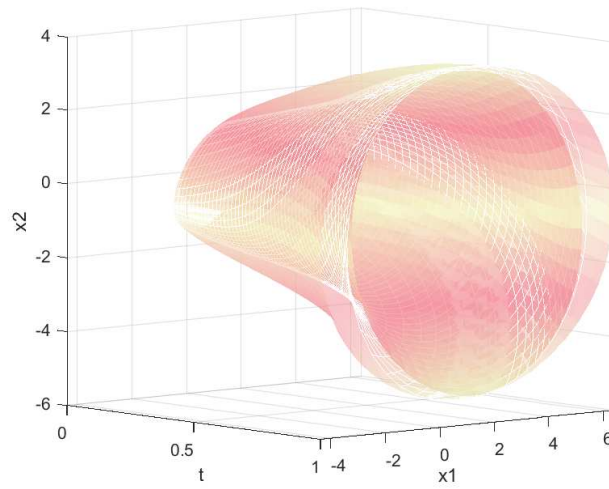


Рис. 43: Внешняя и внутренняя оценка множества достижимости, а также само оригинальное множество

Проекция внешней и внутренней трубки, а также оригинального множества достижимости на трехмерную динамическую плоскость.

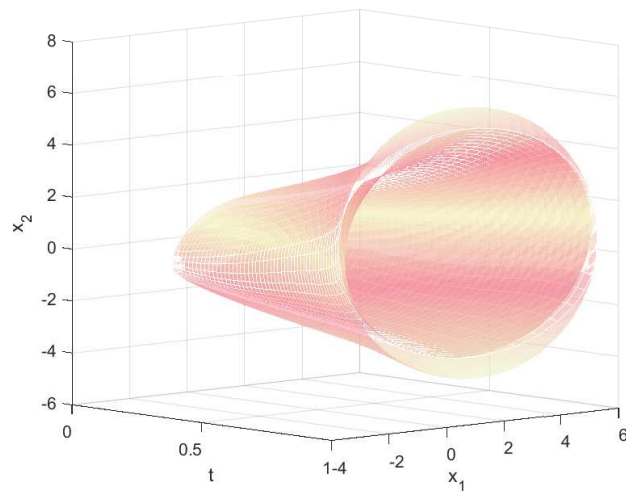


Рис. 44: Внешняя и внутренняя оценка множества достижимости, а также само оригинальное множество

## Список литературы

- [1] Kurzhanskiy A. A., Varaiya P., Ellipsoidal Toolbox, 2006.
- [2] Куржанский А. Б., Лекции по курсу: Динамическое программирование и системы управления, 2018.